

内殻共鳴励起による有機薄膜の脱離反応 -直接過程と間接過程の考察-

共同研究者

田中健一郎 教授

博士課程修了生

佐古恵理香 氏 (高エネ研PF)

隅井良平 氏 (高エネ研PF)

松本吉弘 氏 (原研)

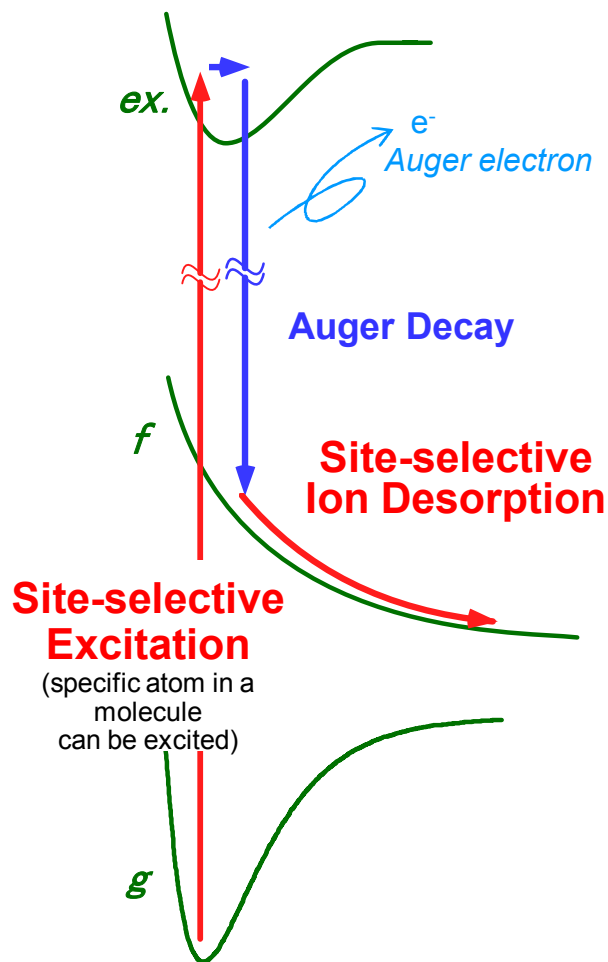
木崎寛之 氏 (企業)

広島大学 理学研究科
和田 真一



HIROSHIMA UNIVERSITY

Characteristic Reaction by Core-Electron Excitation



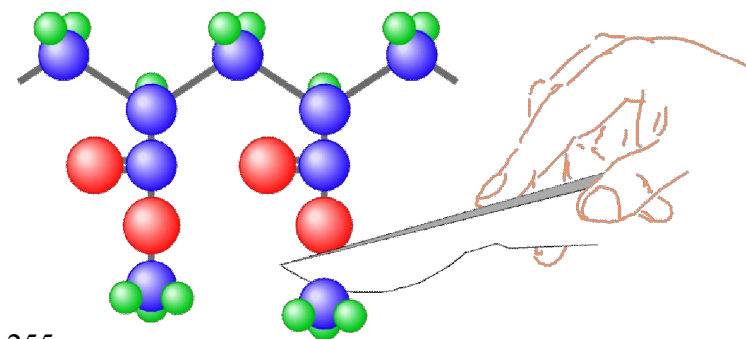
☆ 内殻電子自身が分子内に局在していることから、内殻励起は価電子励起とは異なる局所的な電子遷移である。
また束縛エネルギーはその原子の環境に強く依存している。

⇒ **サイト選択的励起**

☆ 内殻励起状態は非常に速い時間領域で失活する。
Auger崩壊過程

☆ Auger終状態もまた不安定な状態であるため、Coulomb反発が引き金となるイオン性解離の分解過程へと続く。

⇒ **選択的化学結合切断**



- 和田, 田中, 放射光, 18 (2005) 148.
- S. Wada et al., J. Phys.: Condens. Matter, 18 (2006) S1629.
- K. Tanaka et al., J. Electron Spectrosc. Relat. Phenom., 119 (2001) 255.

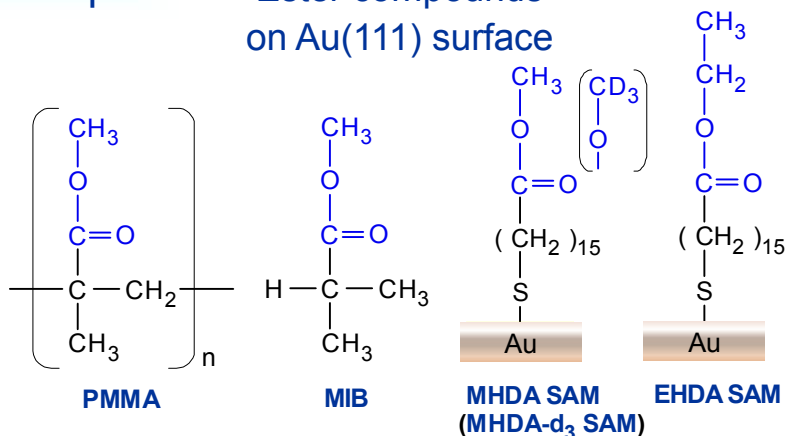
Experimental - Ion Detection

Light Source

- KEK, Photon Factory BL7A
(Single bunch)

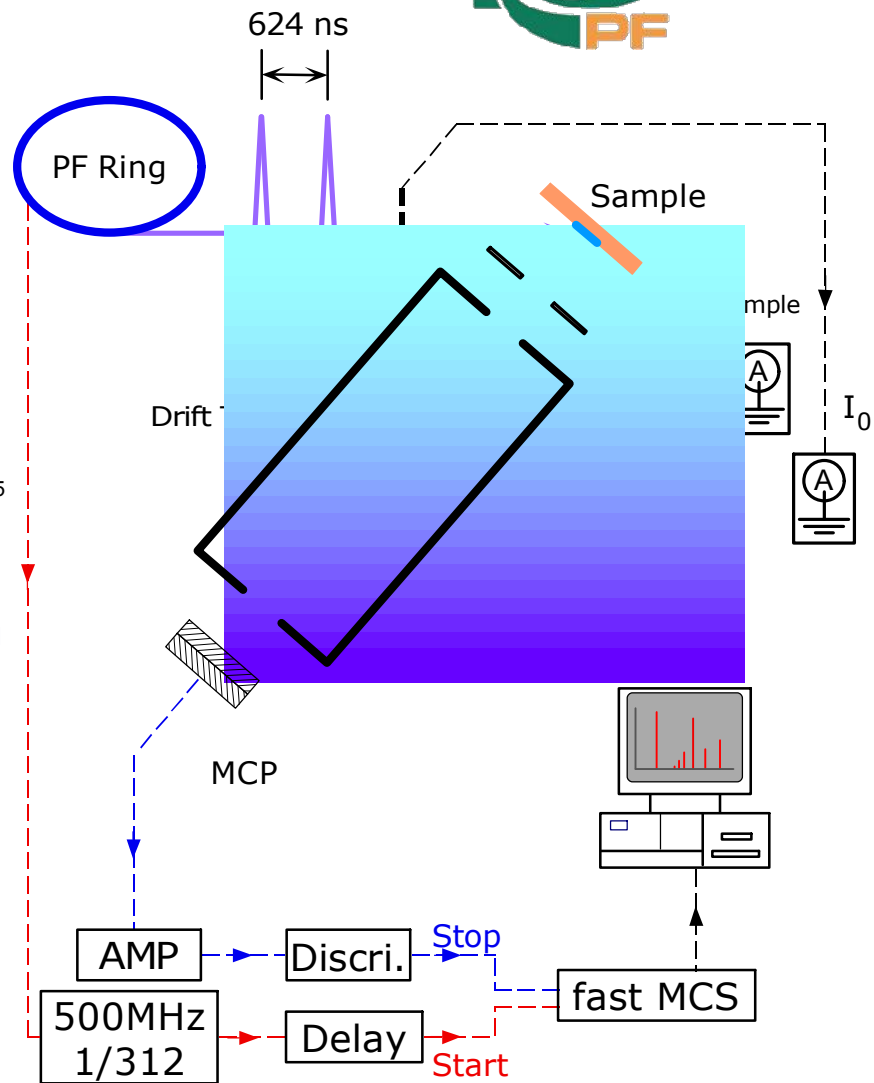
Samples

Ester compounds
on Au(111) surface



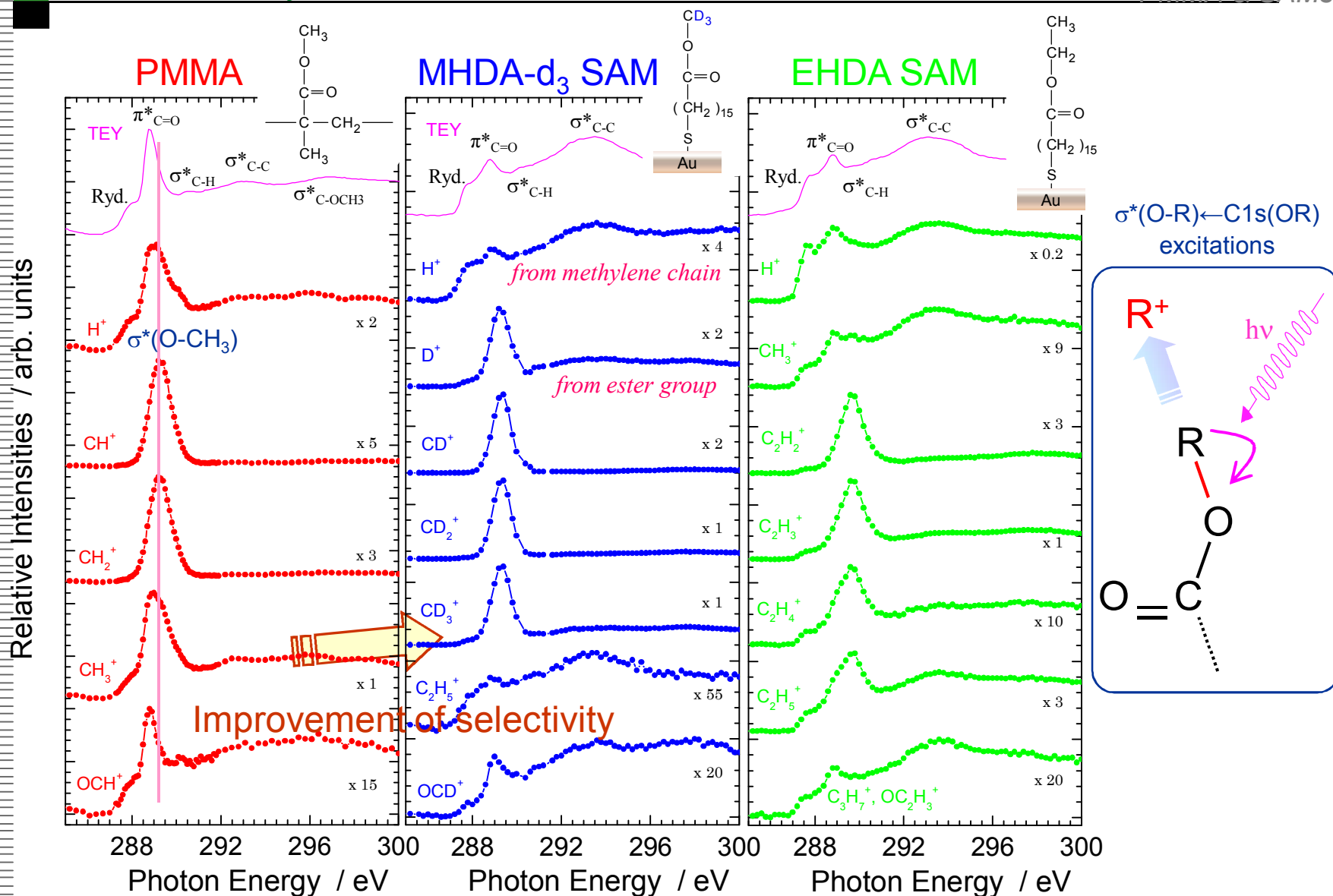
Measurements

- Total Electron Yield (TEY) Spectrum
= Absorption spectrum
- Total Ion Yield (TIY) Spectrum
- Partial Ion Yield (PIY) Spectrum
Time-of-flight (TOF) measurement
by pulsed SR (single-bunch operation)



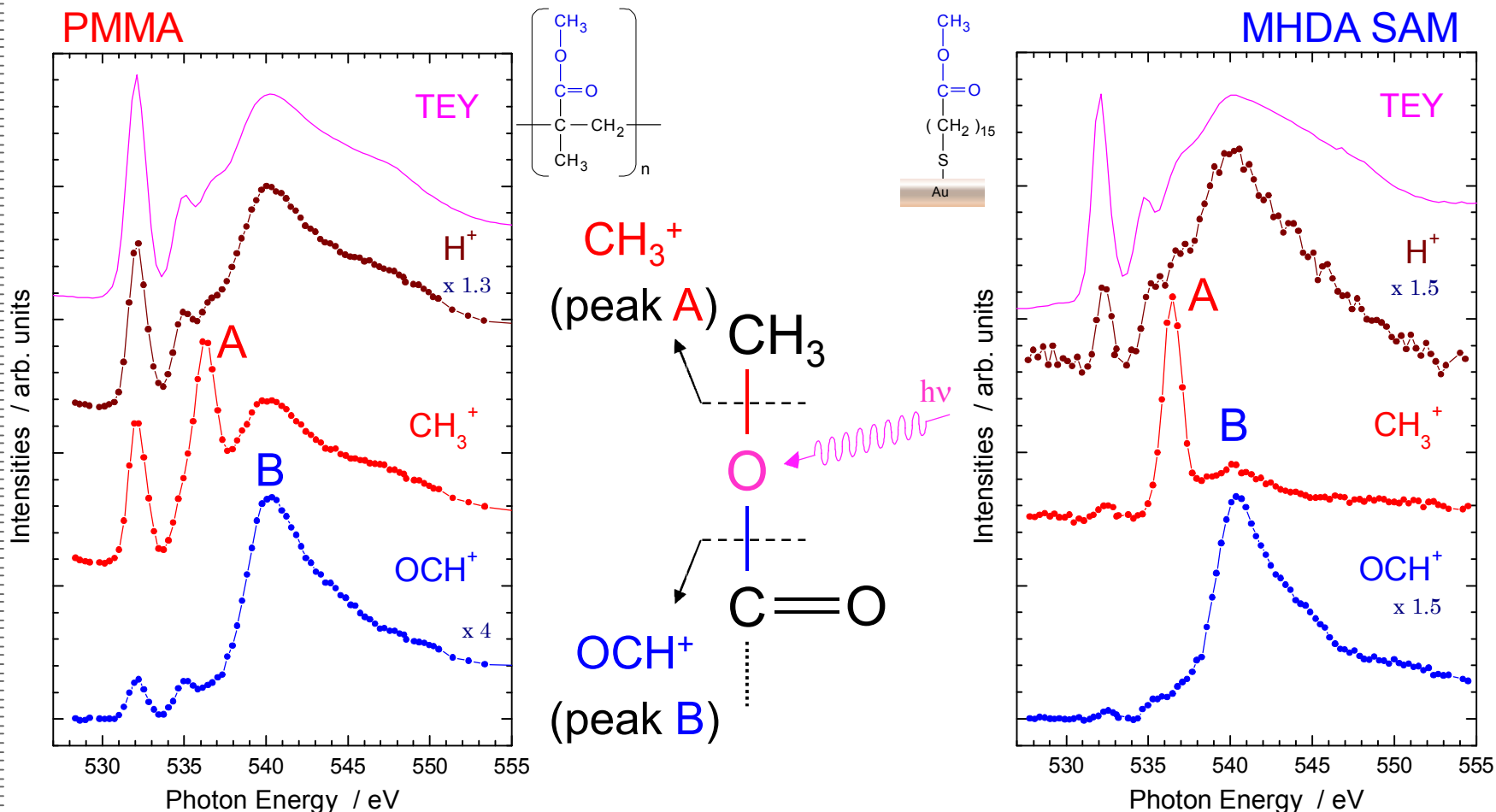
Ion Yield Spectra - C1s core level -

PMMA & SAMs



Ion Yield Spectra - O1s core level -

PMMA & MHDA SAM



Typical result of
control of chemical bond scission

peak A : $\sigma^*(O-CH_3) \leftarrow O1s(COCH_3)$
 peak B : $\sigma^*(C-OCH_3) \leftarrow O1s(COCH_3)$

Indirect Processes for Bond Dissociation

Such different dependence is due to the desorption mechanisms characterized as

- **Direct Dissociation** by core excitation
- **Indirect Dissociation** caused by
 - X-ray-induced electron stimulated desorption (XESD)
 - rapid energy redistribution in highly excited Auger states

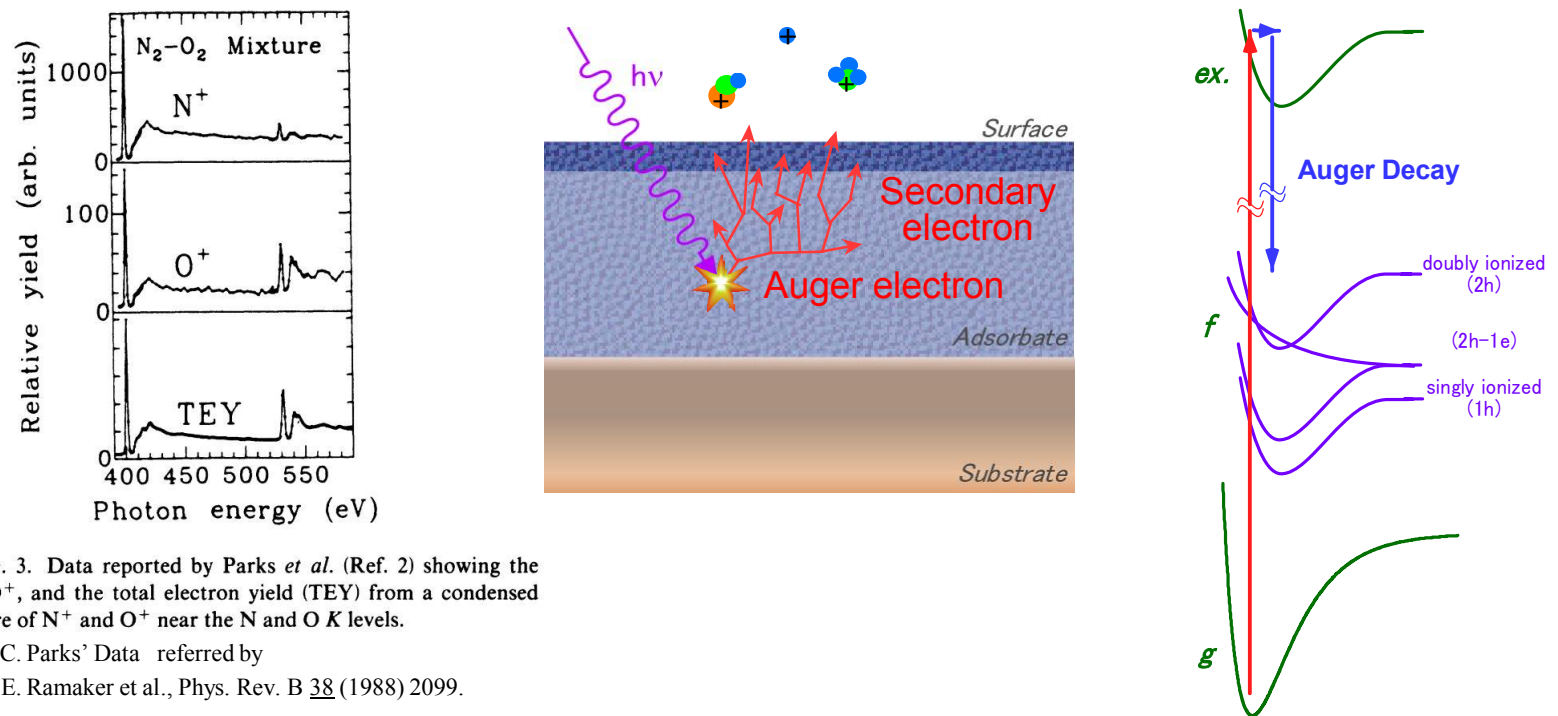


FIG. 3. Data reported by Parks *et al.* (Ref. 2) showing the N^+ , O^+ , and the total electron yield (TEY) from a condensed mixture of N^+ and O^+ near the N and O K levels.

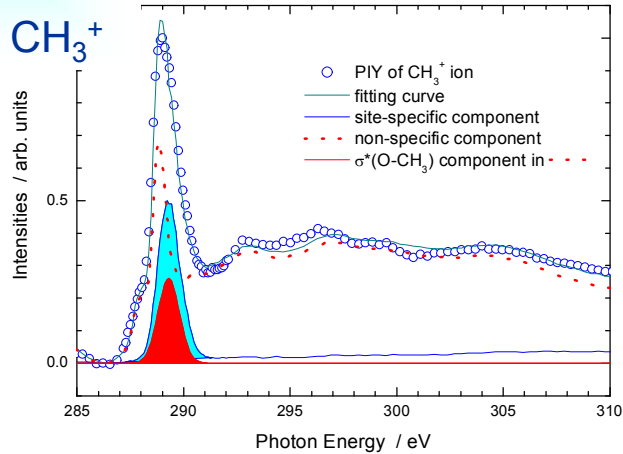
C.C. Parks' Data referred by

D.E. Ramaker *et al.*, Phys. Rev. B 38 (1988) 2099.

Quantitative Evaluation of Direct and Indirect Reactions

PMMA & MHDA SAM

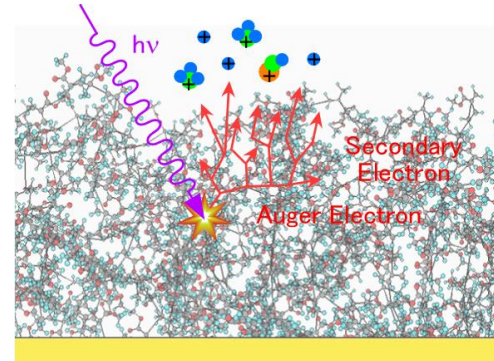
PMMA



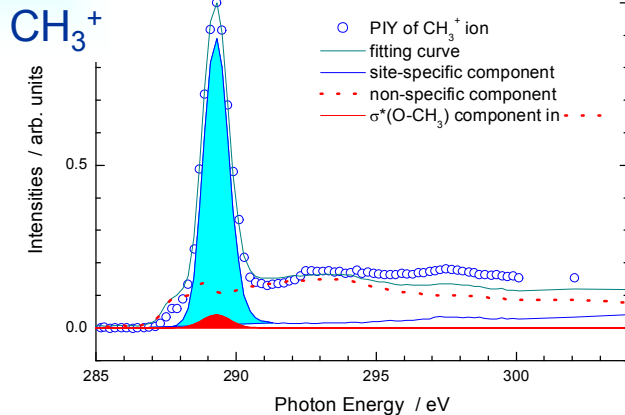
at σ*(O-CH₃)

Direct
65 %

Indirect
35 %

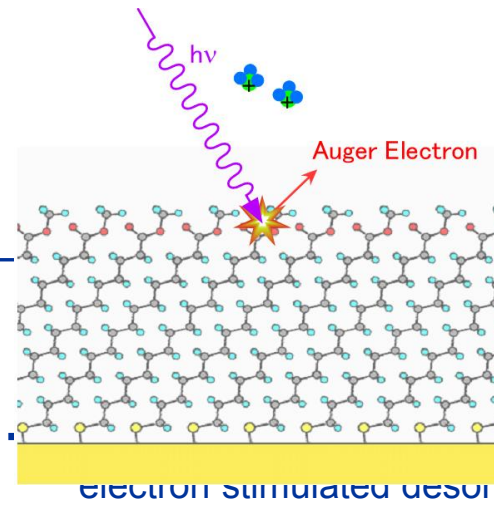


SAM



Direct
90-95 %

Indirect
5-10 %



(@lower limit)

active desorption)
ion induced by:

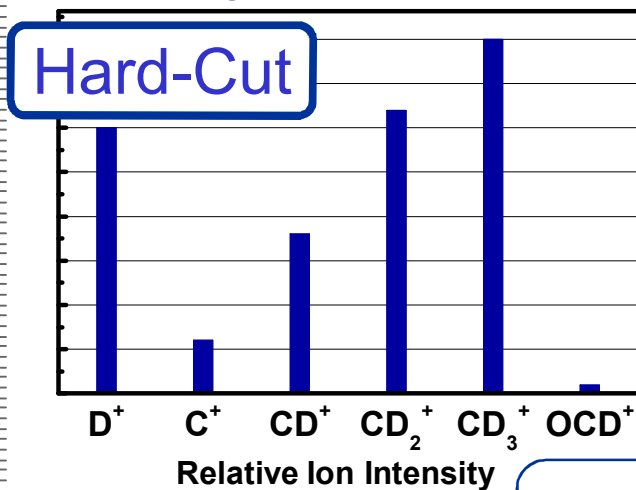
electron stimulated desorption
statistical energy redistribution
in highly excited Auger states

Atomic Position Dependence

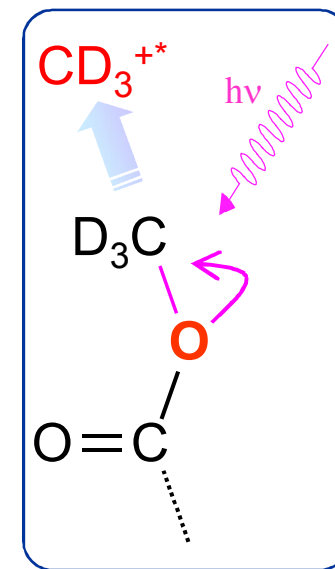
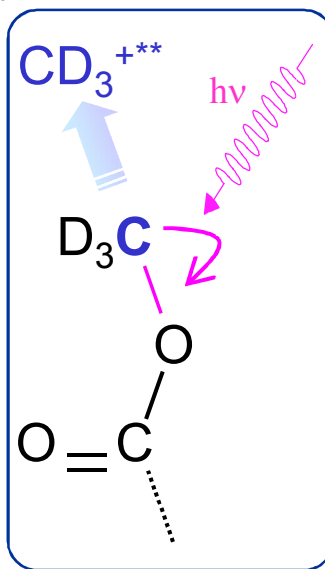
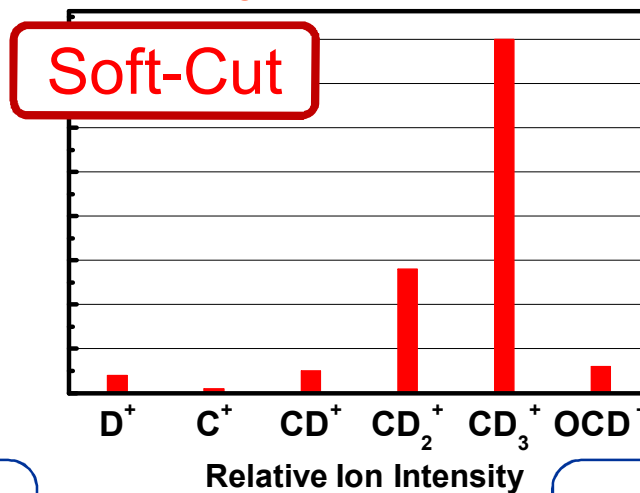
 MHDA-d₃-SAM

Fragmentation of desorbing CD₃⁺ ion in the σ*(O-CD₃) ← C1s(OCD₃), O1s(OCD₃) excitations

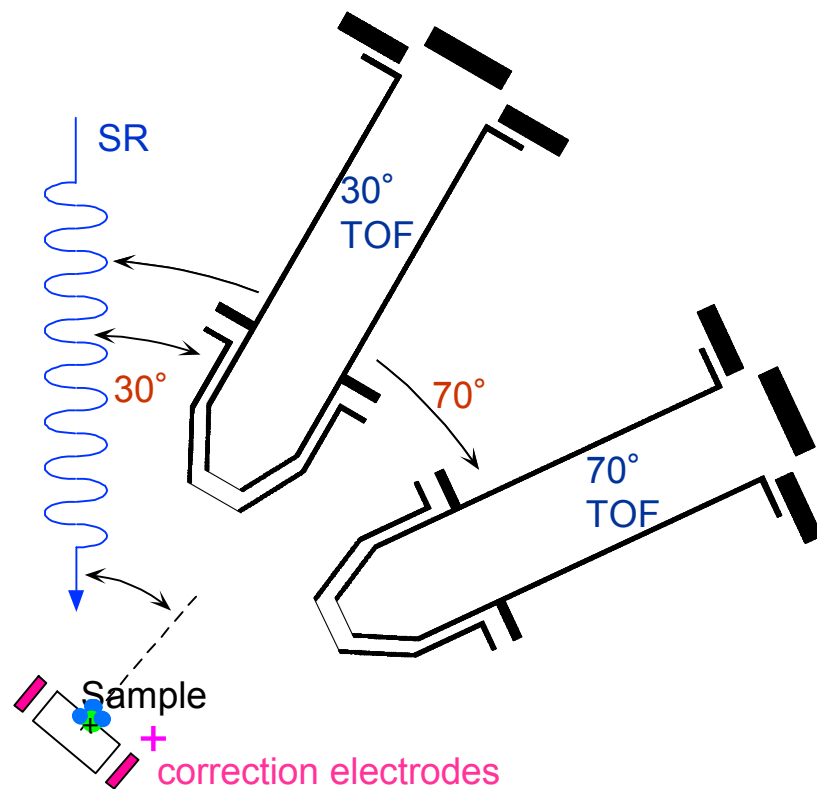
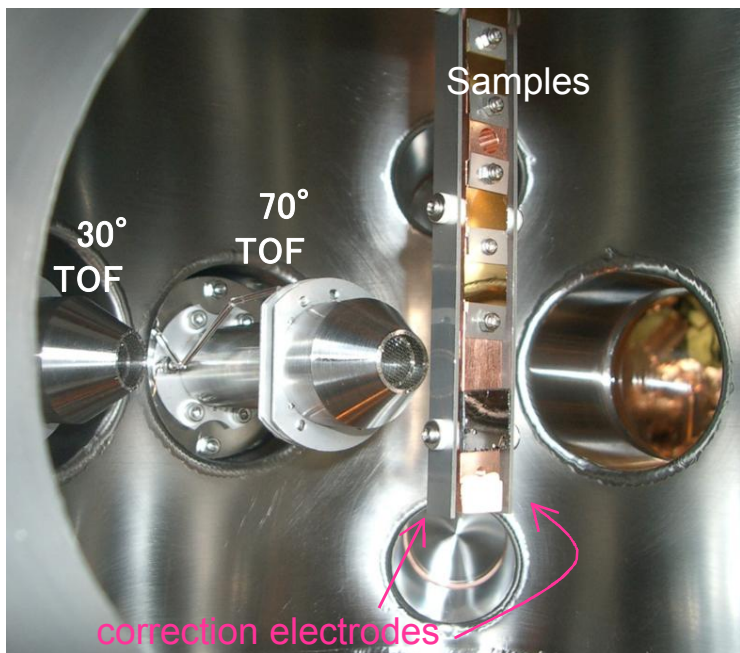
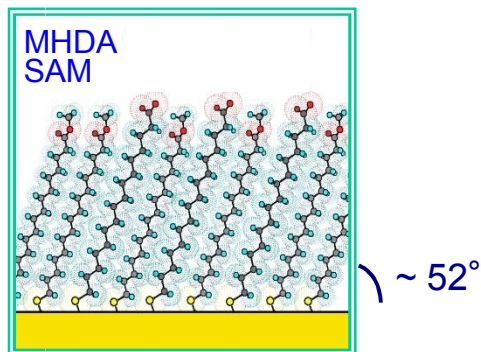
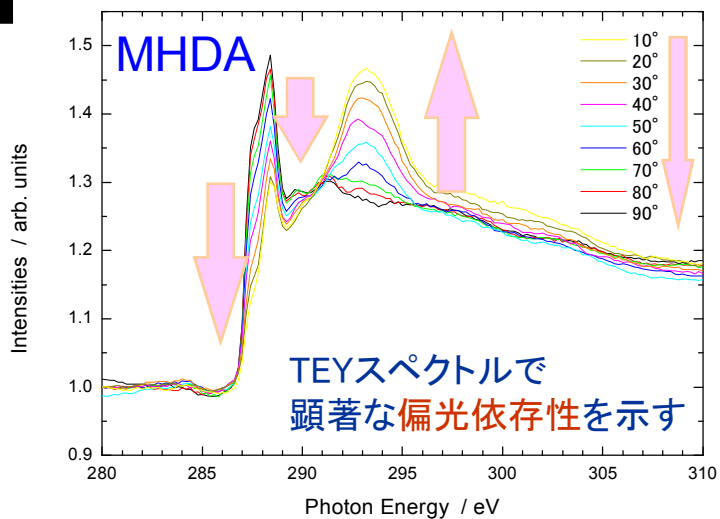
C_{1s} excitation



O_{1s} excitation

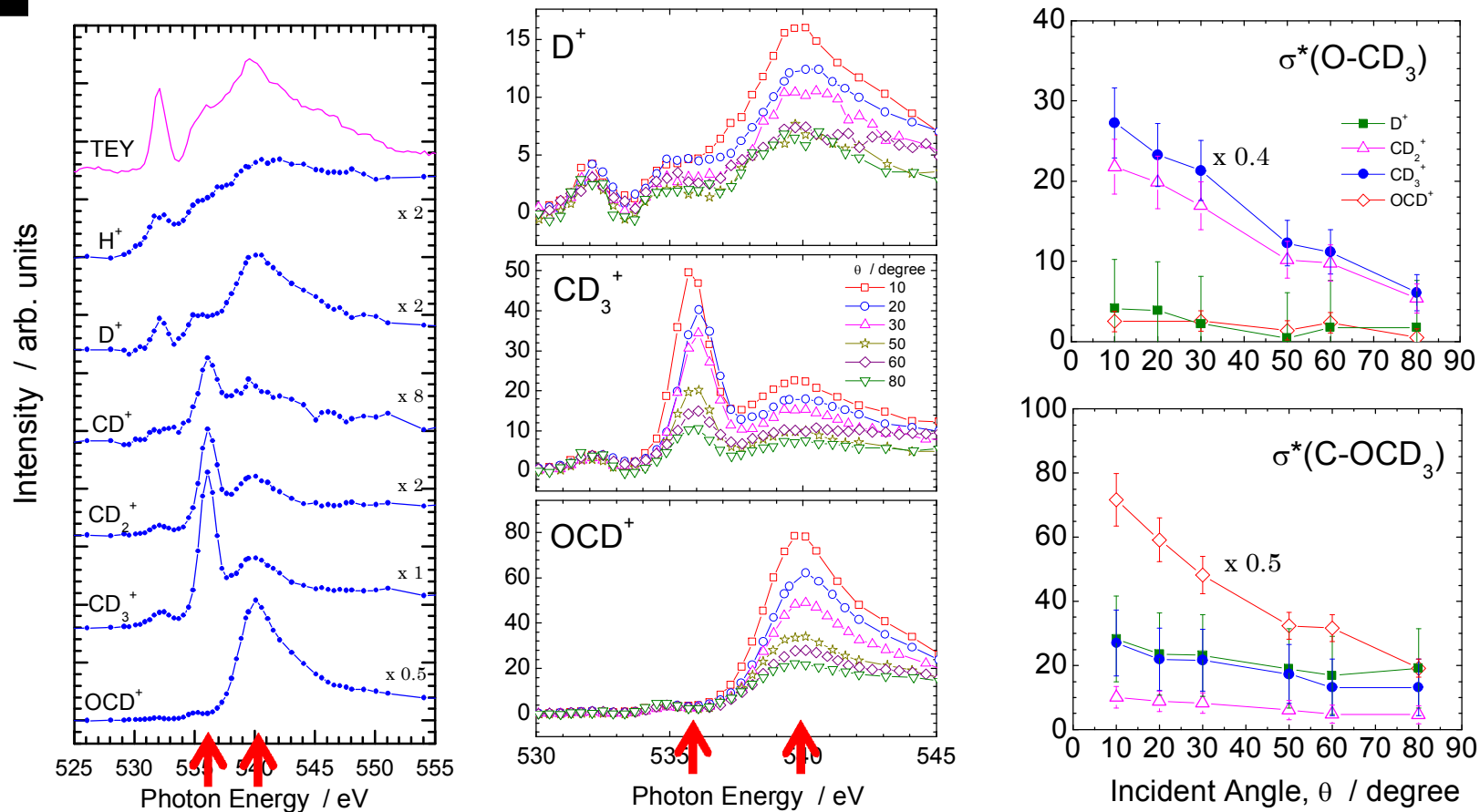


Experimental Setup for Polarization-dependent PSID





Polarization Dependence of PSID - O K-edge

MHDA-d₃-SAM

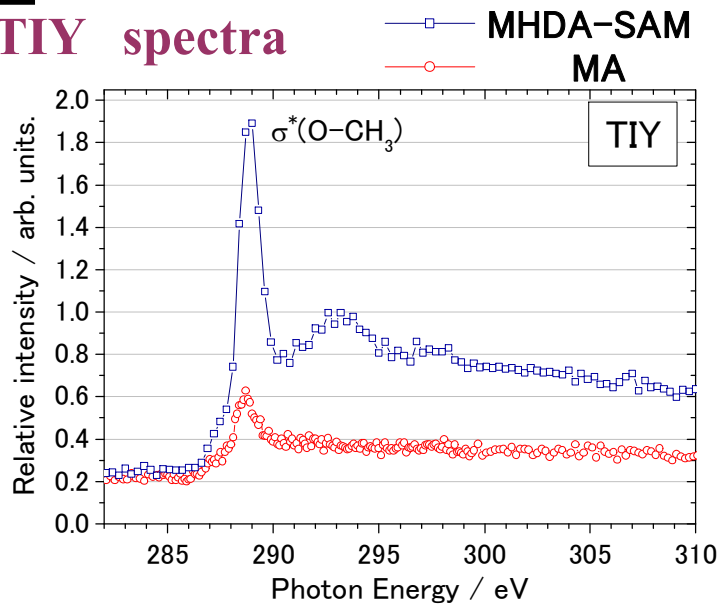
- In the $\sigma^*(\text{O-CD}_3)$ excitation, CD₂⁺ and CD₃⁺ ions indicate intense polarization dependence and almost same trends, while D⁺ and OCD⁺ are almost independent.
- In the $\sigma^*(\text{C-OCD}_3)$ excitation, OCD⁺ ion is most dependent one on the polarization.
- This variation means that polarization dependence sensitively reflects difference of desorption process and ions produced by direct chemical bond scission indicate higher dependence.



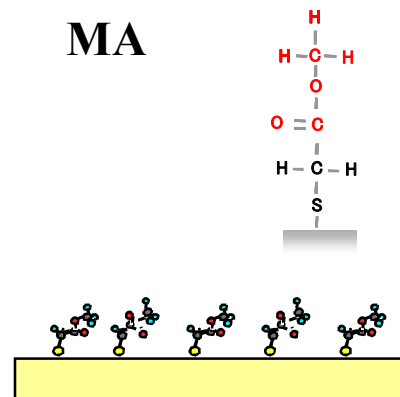
Cain Length Dependence of PSID - C K-edge

MA & MHDA SAMs

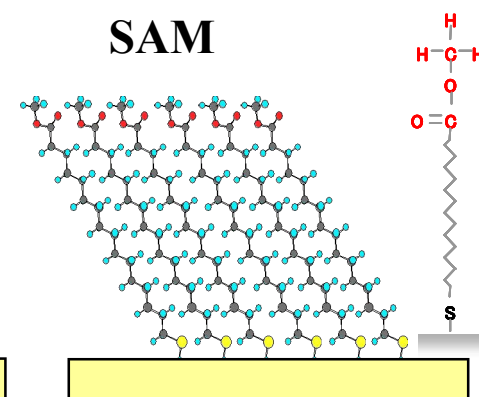
TIY spectra



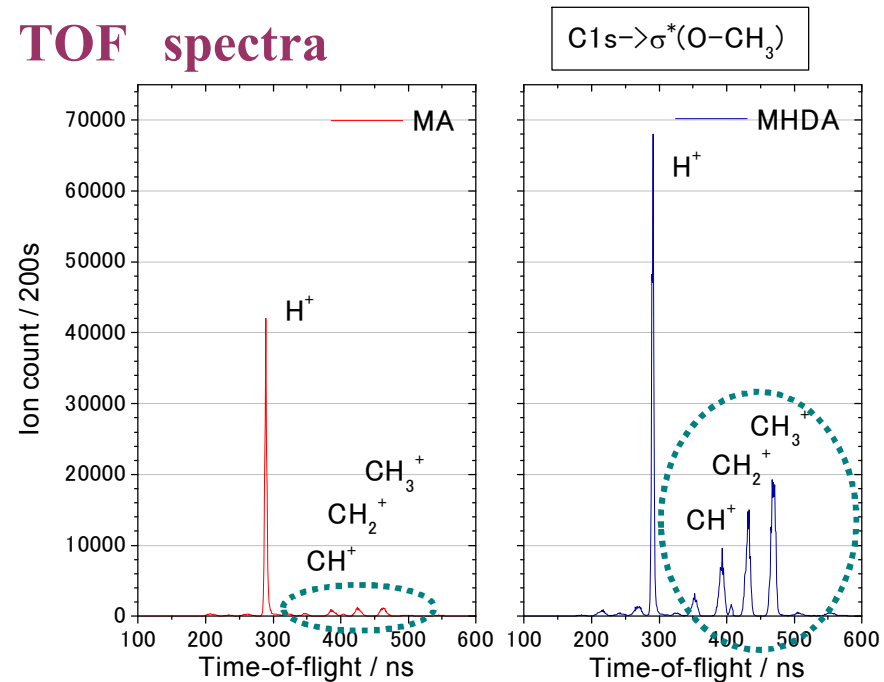
MA



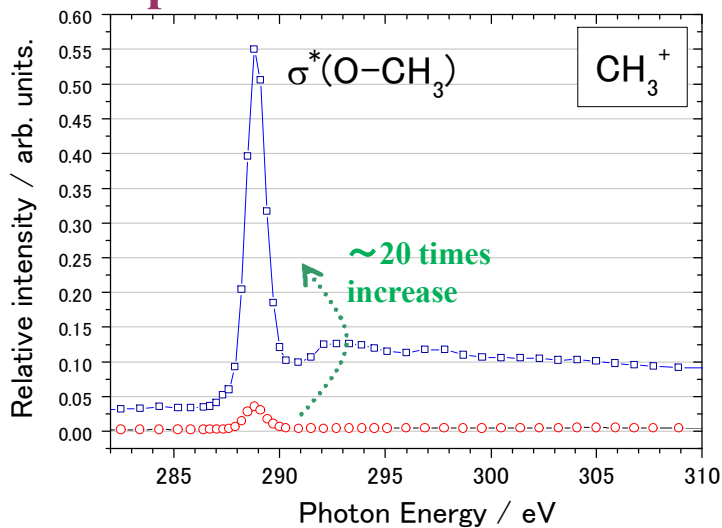
SAM



TOF spectra



PIY spectra



Summary

内殻励起特有の選択的イオン脱離反応

- イオン脱離では内殻励起による直接解離と、間接的な解離反応が共存・競争している
- これらを定量的に評価することに成功
- 中性脱離は間接過程が主成分
- 間接過程にはXESD(X線誘起電子刺激脱離)の他に、サーマルな反応(Auger崩壊後の内部エネルギーの統計的な非局在化による反応)も存在
- XESDのプロセスを始めて観測

→ 分子環境を変えることで反応プロセスの違いが明確に

- 和田,田中, 放射光, 18 (2005) 148.
- S. Wada et al., J. Phys.: Condens. Matter, 18 (2006) S1629.
- K. Tanaka et al., J. Electron Spectrosc. Relat. Phenom., 119 (2001) 255.

